TiO₂ /CuO/Cu₂O(SeO₃) 光催化去除水中腐殖酸*

杨 敏 1** 鲍治宇 董延茂 赵 丹 邱旻昊

(1. 苏州科技学院,环境科学与工程学院,苏州,215011; 2. 苏州科技学院,化学与生物工程学院,苏州,215009; 3. 苏州市吴中区环境监测站,苏州,215111)

摘 要 以 Cu_2Se 为原料,用溶胶-凝胶法(Sol-Gel) 合成了 $TiO_2/CuO/Cu_2O(SeO_3)$ 光催化剂,用 XRD、FTIR 和 EDAX 等方法进行了表征. 探讨了催化剂制备过程中焙烧温度对催化剂组成、晶型结构和光催化去除水中腐殖酸性能的影响. 当 Cu_2Se/TiO_2 焙烧温度为 $450^{\circ}C$ 焙烧 2 h 时, Cu_2Se 转化为 CuO 和 $Cu_2O(SeO_3)$,室温下当 $TiO_2/CuO/Cu_2O(SeO_3)$ 催化剂投加量为 $1.5~g \cdot 1^{-1}$ 溶液 pH 7.0 时,水中腐殖酸的去除率可达到 63.6%. 关键词 TiO_2 CuO $Cu_2O(SeO_3)$ 光催化氧化 腐殖酸.

 TiO_2 的禁带宽度为 3.2~eV,只能被紫外光激发,极大地限制了 TiO_2 的应用. TiO_2 的载流子复合率较高,量子效率较低 [1],因此需对 TiO_2 进行金属离子掺杂 [2]、非金属元素掺杂 [3-5]、表面贵金属沉积 [6-7]、半导体复合 [8-9]、染料光敏化 [10] 等改性. Cu_2Se 是一种优异的相变材料,被广泛地应用于太阳能电池 [11]、玻璃材料 [12]、光学滤波器、超离子导体、热电转换器等领域 [13]. Cu_2Se 的禁带宽度为 1.1-1.4~eV,光电转换效率高 [14],有利于太阳光的高效利用. CuO 的禁带宽度为 1.83-2.08~eV [15],能被可见光激发.

本文通过在 Cu_2Se 表面负载 TiO_2 薄膜 通过焙烧制备 $TiO_2/CuO/Cu_2O(SeO_3)$ 催化剂. $Cu_2O(SeO_3)$ 及 CuO 能与 TiO_2 形成异质结构 ,有利于光生电子—空穴对的分离 ,从而提高催化剂的催化效率.

1 实验部分

1.1 TiO₂/CuO/Cu₂O(SeO₃) 催化剂的制备与表征

以钛酸四丁酯为前驱体、无水乙醇为溶剂、冰醋酸为抑制剂 采用溶胶凝胶法制备 TiO_2 . TiO_2 /CuO/ Cu_2O (SeO_3) 催化剂通过在制备 TiO_2 的过程中投加一定量 Cu_2Se (中国) 完成.

用 X 射线衍射仪(X-pert PRO MPD , PAN Alytical Company) 测定催化剂的晶型及粒径(Cu 靶辐射 , $\lambda = 1.5406 \, \text{Å}$,步速为 $5^{\circ \bullet} \, \text{min}^{-1}$);用红外光谱仪(FTIR-8700 ,SHIMADZU) 测试催化剂的分子结构;用 S-570型扫描电镜(配备 EDAX PV9900 能谱仪 ,日本日立公司) 检测催化剂的元素组成.

1.2 水样的配制

称取一定量腐殖酸 加入 $0.1~{\rm mol}\,{}^{\bullet}l^{-1}$ NaOH 热溶液(60% 左右),搅拌溶解 ,然后用 HCl 调至中性 ,再用微孔滤膜(孔径为 $0.45~{\rm \mu m}$) 过滤 转移至 $1000~{\rm ml}$ 的容量瓶中 ,加去离子水定容 ,作为储备液待用. 计算储备液的浓度 将储备液适当稀释即得试验所需水样 ,本试验水样浓度为 $10~{\rm mg}\,{}^{\bullet}l^{-1}$.

1.3 试验方法

1000 ml 的烧杯作为反应器外层完全用锡纸包裹 ,以避光并提高紫外线的照射效率. 紫外灯功率为 10 W ,波长为 253.7 nm ,置于反应器中. 首先将催化剂加入反应器中 ,开启搅拌器 ,混合均匀后开始计时 20 min 后取水样检测; 然后开紫外灯 ,每隔 20 min 取样. 水样经 $0.45 \, \mu \text{m}$ 微孔滤膜过滤后分析 ,用 UV-7504 紫外-可见分光光度计检测. 本文以 UV_{254} 作为 HA 在水中含量的替代参数.

²⁰⁰⁹年12月28日收稿.

^{*} 建设部科技攻关基金资助项目(2008-K4-19);江苏省教育厅高校科研成果产业化推进项目(JHZD08-31); 苏州市科技发展计划项目(SG0847) 苏州科技学院师资培养科研资助、重点学科建设科研项目.

^{**}通讯联系人.

2 结果与讨论

2.1 催化剂的表征

图 1 为不同焙烧温度下制备的催化剂的 XRD 谱图. 由图 1 可知 ,当焙烧温度为 350 ℃ 时 , Cu_2 Se 被氧化成 Cu_2 O (SeO_3) 和 $Cu_{2\pi}$ Se (x=0—0. 25) ; 当温度升高到 400 ℃ 时 , Cu_2 Se 主要被氧化成 Cu_2 O (SeO_3) ; 当温度升高到 450 ℃ 时 出现了 CuO 的峰; 当温度升高到 500 ℃ 时 ,谱图中 Cu_2 O (SeO_3) 的峰消失 ,以 CuO 的峰为主 ,与 Skomorokhov A N 等人 [16] 的结果一致. 根据 XRD 分析数据 ,计算各组分含量:

$$W_{x} = I_{x} / (K_{A}^{X} \sum_{i=1}^{N} I_{i} / K_{A}^{i})$$
(1)

$$K_A^X = K_X / K_A \tag{2}$$

其中 A 为 N 个相中被选定为内标相的物相 ,可以是 N 个相中选定的任意相; X 为任意相 X=1 2······N; K_X K_A 分别为物相 X 和 A 的参比强度(RIR) 值.

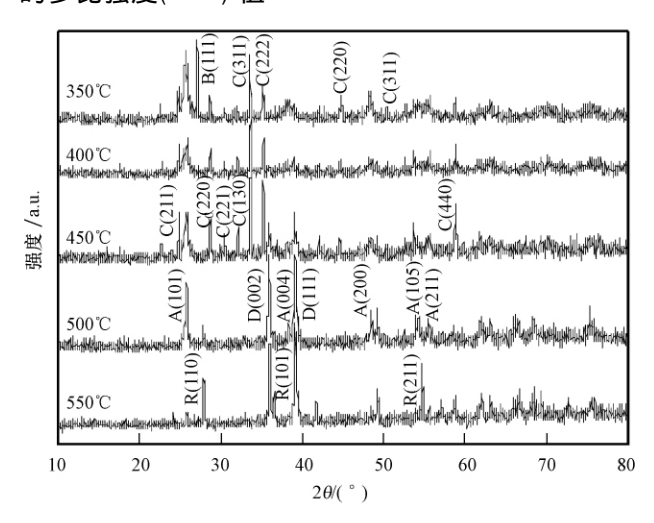


图 1 不同焙烧温度催化剂的 XRD 图

A: TiO_2 (锐钛矿相); R: TiO_2 (金红石相); B: $Cu_{2 \rightarrow} Se$; C: $Cu_2 O(SeO_3)$; D: CuO

Fig. 1 XRD patterns of catalysts calcined at different temperatures

根据上述计算结果 对照 JCPDS(PDF2004) 标准谱图 催化剂组分及晶型如表 1 所示. 随着焙烧温度从 350° 升高到 500° . 锐钛矿型 TiO_2 的特征峰强度逐渐提高. 当温度达到 500° 时 ,出现了弱的金红石型 TiO_3 的特征峰. 继续升高温度到 550° 时 ,锐钛矿型 TiO_3 比例下降 ,以金红石型 TiO_3 为主.

表 1 焙烧温度对催化剂组分及晶型的影响

Table 1 The effect of calcination temperature on the composition and crystal of the cataly	Table 1	The effect of calcination te	mperature on the cor	mposition and cr	rystal of the catalys
---	---------	------------------------------	----------------------	------------------	-----------------------

编号	焙烧温度/℃	催化剂组分	RIR 值	各组分质量分数/%	标准卡 JCPDS
C-1	350	Cu _{2-x} Se	5.79	22.0	[06-0680]
		TiO ₂ (A)	3.30	33.5	[21-1272]
		$Cu_2O(SeO_3)$	2.33	44.5	[46-0793]
C-2	400	TiO ₂ (A)	3.30	32.4	[21-1272]
		$Cu_2O(SeO_3)$	2.33	67.6	[46-0793]
	450	TiO ₂ (A)	3.30	24.3	[21-1272]
C-3		$Cu_2O(SeO_3)$	2.33	59.0	[46-0793]
		CuO	3.91	16.7	[80-1917]
	500	TiO ₂ (A)	3.30	38.9	[21-1272]
C-4		TiO ₂ (R)	3.40	16.3	[21-1276]
		CuO	3.91	44.8	[80-1917]
	550	TiO ₂ (A)	3.30	13.7	[21-1272]
C-5		TiO ₂ (R)	3.40	35.3	[21-1276]
		CuO	3.91	51.0	[80-1917]

29 卷

图 2 为不同焙烧温度催化剂的 EDAX 谱图. 由图 2 可知 催化剂主要元素组成为 $Ti \cdot O \cdot Se \cdot Cu$; 其中 Se 元素的含量随着焙烧温度的升高而逐渐减少 这可能是因为在焙烧过程中有一部分 Se 与 O_2 结合生成 SeO_2 以气体的形式挥发出去 这与 XRD 分析的结果一致.

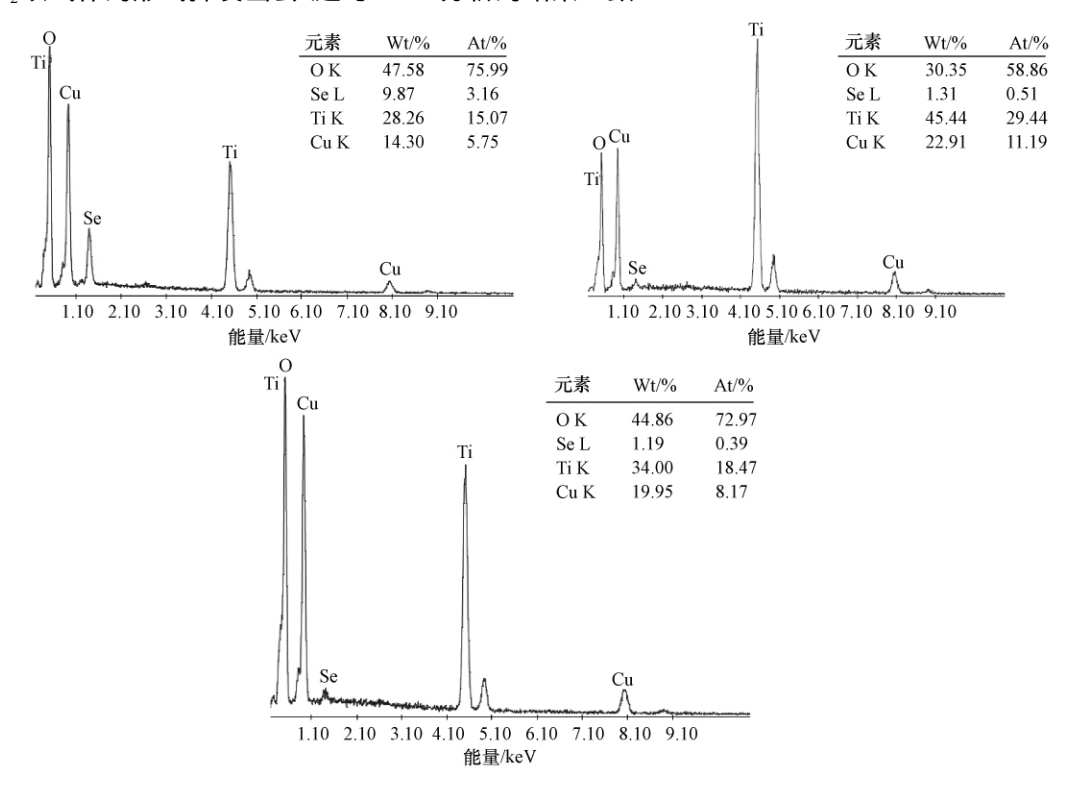


图 2 不同焙烧温度催化剂的 EDAX 图

Fig. 2 EDAX patterns of catalysts calcined at different temperatures

图 3 为催化剂的红外光谱图. 由图 3 可知 "波数 492 cm^{-1} 和 712 cm^{-1} 对应 Ti \longrightarrow 0 键的特征振动峰; 波数 3500 \longrightarrow 4000 cm^{-1} 的吸收峰可归结为吸附水 0 \longrightarrow H 键的伸缩振动 随着温度的升高 特征峰减弱 说明催化剂经过高温焙烧后有机物及水分都已挥发、降解.

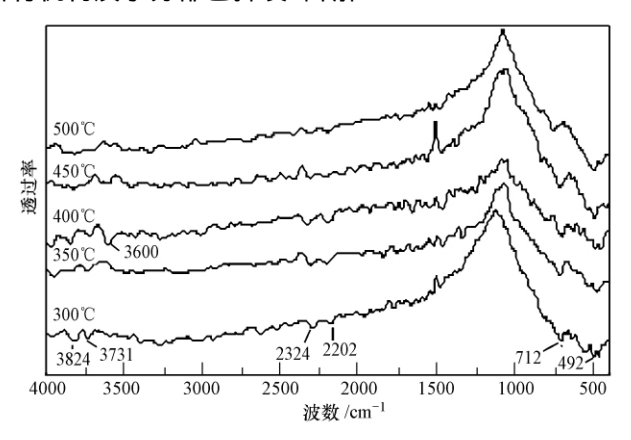


图 3 不同焙烧温度催化剂的红外吸收谱图

Fig. 3 FTIR curves of catalysts calcined at different temperatures

2.2 光催化降解 HA 的研究

不同焙烧温度下制备的催化剂 C-2 ,C-3 和 C-4 对水中 HA 的降解作用如图 4 所示 ,HA 溶液初始浓度为 10~mg•1⁻¹ (初始 pH 值为 10.5) 催化剂投加量为 1.5~g•1⁻¹ ,以功率为 <math>10~W 的紫外杀菌灯为光源 ,其中前 20~min 为暗吸附过程 ,后 180~min 为光催化降解过程.

研究表明, 当焙烧温度为 450℃时, 催化剂对 HA 的去除率最好. 由 XRD 分析可知 400℃ 热处理后

的催化剂中锐钛矿 TiO_2 的结晶度较差 漏型不够完整 导致催化效率不高; 而 500° C 热处理后的催化剂虽然 TiO_2 的结晶度较好 但其中大部分 Se 元素在高温下可能以 SeO_2 的形式挥发出去. 当焙烧温度为 450° C 时 不仅锐钛矿 TiO_2 结晶度很好 漏型完整 流且由元素分析及 XRD 分析可知 此时催化剂中还有 $Cu_2O(SeO_3)$ 及 CuO 其与 TiO_2 结合后可提高催化剂的催化效率 这可能是因为 $Cu_2O(SeO_3)$ 及 CuO 能与 TiO_2 形成异质结构 ,有利于电子—空穴对的分离 从而提高催化剂的催化效率.

2.3 溶液 pH 值对光催化降解 HA 的影响

不同溶液 pH 值下催化剂 C-3 对水中 HA 的降解作用如图 5 所示 ,HA 初始浓度为 10~mg• 1^{-1} ,催化剂投加量为 1.5~g• 1^{-1} ,以功率为 10~W 的紫外杀菌灯为光源 ,其中前 20~min 为暗吸附过程 ,后 180~min 为光催化降解过程.

从图 5 可以看出 在前 20 min 吸附过程中 催化剂在溶液 pH = 3.5 时对 HA 的去除率最高 ,可达到 29.9%; pH = 7.0 和 10.5 时,HA 去除率分别为 12.6% 和 3.6% . 可见催化剂对 HA 的吸附量随 pH 值的 增大逐渐减小. 这可能是因为催化剂在水溶液时,催化剂表面电荷及氧化还原电位随溶液 pH 值不同而 发生改变. pH 为 3.5 时, TiO_2 表面带有正电荷 $^{[17]}$,而 HA 活性官能团中的羧基和酚羟基在水溶液中带有负电荷,HA 与催化剂之间产生静电引力,导致 HA 的吸附量增加;在碱性溶液中时,催化剂表面带有负电荷,HA 与催化剂之间产生静电斥力,HA 吸附量减小. 同时,在 pH 较高的碱性溶液中,HA 活性官能团中的羧基和羟基大多离解,使 HA 呈现的负电荷相互排斥,构型伸展,亲水性强,因而趋于溶解 $^{[18]}$;在酸性溶液中,各官能团难于离解而电荷减少,高分子趋于卷缩成团,亲水性弱,因而趋于沉淀或凝聚,有利于其在催化剂表面的吸附.

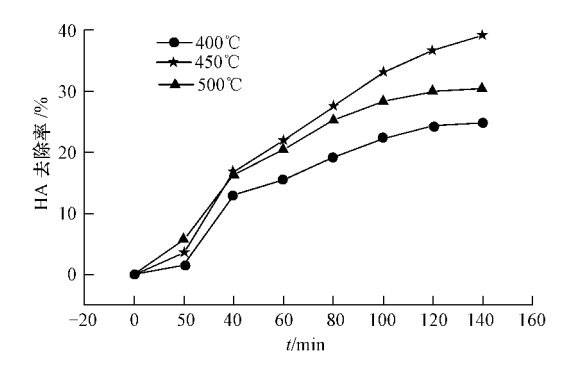


图 4 焙烧温度对腐殖酸去除率的影响

Fig. 4 The influence of calcination temperature on HA removal rate

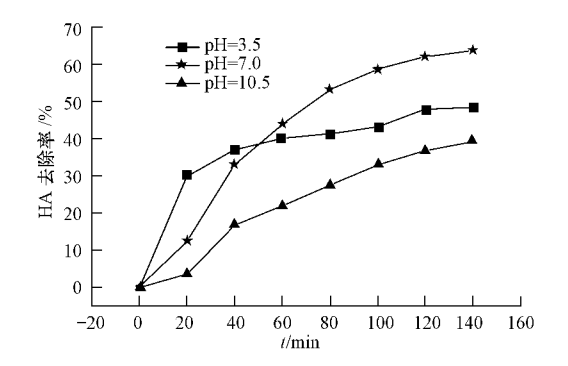


图 5 不同 pH 值溶液腐殖酸去除率随时间的变化 Fig. 5 Variation of HA removal rate with time at different pH

在光催化降解过程中 催化剂在溶液 pH=7.0 时对 HA 的去除率从 12.6% 逐渐增大到 63.6%; 而在 pH=3.5 时 A0 min 后去除率增大不明显; pH=10.5 时 ,光催化氧化反应 120 min 时去除率仅为 35.3% . pH=3.5 时 ,由于前 20 min 催化剂表面吸附较多 HA ,异致催化剂受紫外光照射的表面积减少 ,且催化剂优先降解吸附在其表面的 HA ,所以光催化氧化开始阶段 HA 去除率增加不明显 ,同时 HA 在酸性溶液中的溶解度过小 ,会影响紫外光的透过率而降低其去除率. 催化剂表面产生的 \bullet OH只能降解其周围的 HA ,适当吸附是光催化氧化的先决条件 ,当 pH=10.5 时 ,催化剂表面吸附的 HA 较少 影响光催化氧化效果 ,同时随着 pH 值的增大 ,溶液中 HCO_3^- , CO_3^2 -增多 ,消耗 \bullet OH ,不产生 O^2 -和有机自由基 ,因此光催化氧化速率降低.

3 结论

以 Cu_2Se 为原料,用溶胶-凝胶法合成了 $TiO_2/CuO/Cu_2O(SeO_3)$ 光催化剂,探讨了催化剂制备过程中焙烧温度对催化剂组成、晶型结构和光催化氧化水中 HA 性能的影响. 当 Cu_2Se/TiO_2 焙烧温度为450% 焙烧时间为 2 h 时 Cu_2Se 转化为 CuO 和 $Cu_2O(SeO_3)$. 室温下当 $TiO_2/CuO/Cu_2O(SeO_3)$ 催化剂

投加量为 $1.5 \text{ g} \cdot 1^{-1}$,溶液 pH 值为 7.0 时 ,水中 HA 的去除率可达到 63.6% .

参考文献

- [1] 程刚 周孝德 李艳 海. 纳米 ZnO-TiO, 复合半导体的 La³⁺ 改性及其光催化活性[J]. 催化学报 2007 28(10):885-889
- [2] 苏碧桃 蓮娜 幕红梅 為: Fe³⁺-CdS/TiO₂复合半导体光催化剂的制备与表征[J]. 精细化工 2007 24(9):856-859
- [3] Ohno T, Prepatation of visible light active S-doped TiO₂ phytocatalysts and their photo-catalytic actibites [J]. Water Sci Technol ,2004 ,49
 (4):159-163
- [4] Umeba Yashi T, Yamaki T, et al. Visible light-induced degradation if methylene blue on S-doped TiO₂ [J]. Chem Lett, 2003, 32 (4): 330–331
- [5] Ohno T, Mitsui T, Matsumura M. Preparation of S-doped TiO₂ photocatalyst under visible light [J]. Chem Lett, 2003, 32(4):364–365
- [6] Sasaki T, Koshizaki N, Yoon J W. Preparation of Pt/TiO₂ nanacomposite thin films by pulsed laser deposition and their photoelectrochemical behaviors [J]. Journal of Photochemistry and Photobiology A: Chemistry , 2001 , 145 (1-2):11-16
- [7] Sung-Suh H M, Choi J R, Hah H J. Comparison of Ag deposition effects on the photocatalytic activity of nanoparticulate TiO₂ under nisible and UV light irradiation [J]. Journal of Photochemstry and Photobiology A: Chemistry, 2004, 163(1-2):37-44
- [8] 刘平 周廷云 林华香 等. TiO2/SnO2复合光催化剂的耦合效应[J]. 物理化学学报 ,2001 ,17(3):265-269
- [9] 颜秀茹 ,白天 霍明亮 ,等. 核-壳式纳米 SnO₂ /TiO₂ 光催化剂的制备和性能[J]. 催化学报 ,2004 25(2):120-124
- [10] 葛伟杰 周保学 涨哲 爲. 染料敏化太阳能电池纳米 TiO2制备及多孔电极膜研究进展[J]. 环境化学,2005,24(6):726-730
- [11] Lakshmikumar S T, Rastogi A C. Selenization of Cu and in thin films for the preparation of selenide photo-absorber layers in solar cells using Se vapour source [J]. Solar Energy Materials and Solar Cells, 1994, 32(1):7-19
- [12] Haram , Santosh K , Santhanam K S V , et al. Electroless deposition on copper substrates and characterization of thims of copper (I) selenide [J]. Materials Research Bulletin , 1992 , 27(10):1185-1191
- [13] Mzchado K D, deLima J C, Grandi T A, et al. Structural study of Cu₂₃ Se alloys produced by mechanical alloying [J]. Acta Crystallographica Section B: Structural Science , 2004, B60: 282-286
- [14] Liu K G , Liu H , Wang J Y , et al. Synthesis and characterization of Cu₂Se prepared by hydrothermal Co-reduction [J]. Journal of Alloys and Compounds , 2009
- [15] Jun J , Jin C , Kim H , et al. Fabrication and characterization of CuO-core/TiO₂-shell one-dimensional nanostructures [J]. Applied Surface Science , 2009 , 255: 8544–8550
- [16] Skomorokhov A N , Trots D M , Knapp M , et al. Structural behaviour of β -Cu_{2- δ}Se(δ = 0 , 0. 15 , 0. 25) in dependence on temperature studied by synchrotron powder diffraction [J]. Journal of Alloys and Compounds , 2006 , 421:64-71
- [17] 刘媛媛 潘纲. 吸附模式对有机物光催化降解的影响 1. H-酸在 TiO2表面的吸附模式 [J]. 环境化学 2006, 25(1):1-5
- [18] 张红梅. 水中天然有机物腐殖酸的光催化氧化研究[D]. 西安建筑科技大学硕士学位论文 2003

PHOTOCATALYTIC PROPERTIES OF TiO₂/CuO/Cu₂O(SeO₃) ON THE REMOVAL OF HOMIC ACIE IN WATER

YANG Min¹ BAO Zhiyu¹ DONG Yanmao² ZHAO Dan¹ QIU Minhao³

- (1. School of Environmental Science and Engineering , Suzhou University of Science and Technology , Suzhou , 215011 , China;
 - 2. School of Chemical and Biological Engineering , Suzhou University of Science and Technology , Suzhou , 215009 , China;
 - 3. Wuzhong Environmental Monitoring Station, Suzhou, 215111 ,China)

ABSTRACT

The $TiO_2/CuO/Cu_2O(\ SeO_3)$ photo-catalysts were prepared by sol-gel method. The photo-catalysts were characterized by X-ray diffraction (XRD) , Fourier transform infrared spectroscopy (FTIR) and SEM-EDAX , respectively. The dependence of crystal structure of TiO_2 on the calcination temperature was investigated. The photo-catalytic activity of the $TiO_2/CuO/Cu_2O(\ SeO_3)$ on the humic acid was also studied. Results showed that CuO and $Cu_2O(\ SeO_3)$ were produced at 450°C calcining temperature for 2 hours. The removal rate of humic acid was about 63.6% with $1.5g \cdot 1^{-1}$ dasage of the catalyst at room temperature and pH = 7.0.

Keywords: TiO₂, CuO, Cu₂O(SeO₃), photocatalytic oxidation, humic acid.